

زیست‌چینه‌نگاری و محیط رسویی سازند قم در برش تلن کوه، جنوب‌باختری سمنان

سید‌محمد حسینی‌نژاد^۱، حسن رامه^{۲*} و رضا اهری‌پور^۳

۲، ۱ - دانشکده علوم زمین، دانشگاه دامغان، دامغان

نویسنده مسئول: hassanrameh.67@gmail.com

دریافت: ۹۵/۳/۲۰ پذیرش: ۹۵/۱۰/۱۳

چکیده

سازند قم در برش تلن کوه با ۶۰۵ متر استبرا در ۵۰ کیلومتری جنوب‌باختری سمنان واقع شده است و از شش واحد سنگی شکل گرفته است که از نظر لیتولوژی به طور عمده شامل سنگ‌آهک، تنابو سنگ‌آهک و مارن، سنگ‌آهک مارنی و ژیپس است. مرز زیرین سازند قم در این برش با سازند قرمز زیرین به صورت ناپیوستگی فرسایشی و مرز بالای آن احتمالاً به دلیل فرسایش یا گسل خوردگی نامشخص است. پس از مطالعه زیست‌چینه‌نگاری تعداد ۳۴ جنس و ۱۸ گونه از روزن‌داران کفزی شناسایی گردید و بر مبنای حضور روزن‌داران شاخص سن شاتین^۴-بوردیگالین برای این برش تعیین شد. همچنین با استفاده از بازدیدهای میدانی و مطالعات آزمایشگاهی یک لیتوفاسیس کنگالومرایی، یک رخساره تبخیری و ۱۰ ریزرخساره در ۵ دسته رسوی فراکشنده، پهنه کشنده، لاغون، سد ماسه‌ای بایوکلستی و دریایی باز کم عمق مشخص گردید. بنابراین برای برش تلن کوه یک رمپ کربناته هموکلینال پیشنهاد شده است.

واژه‌های کلیدی: زیست‌چینه‌نگاری؛ محیط رسوی؛ سازند قم؛ روزن‌داران کفزی؛ جنوب‌باختر سمنان

مطالعات پیشین

مقدمه

از جمله مهم‌ترین مطالعات زیست‌چینه‌نگاری و محیط رسوی صورت گرفته بر روی سازند قم می‌توان به بررسی فونای مرجانی و پالٹوکولوژی و پالئوبیوگرافی الیگوسن و میوسن پیشین ایران مرکزی توسط اشتوستر و وايلند [۴۷]، زیست‌چینه‌نگاری و چینه‌نگاری سکانسی سازند قم در جنوب‌غرب ارستان توسط وزیری‌مقدم و ترابی [۴۹]، روزن‌داران کفزی میوسن پیشین و زیست‌چینه‌نگاری سازند قم در شمال دهنگ توسط دانشیان و رمضانی‌دانان [۲۹]، مطالعاتی بر روی بریوزوئرهای پوشاننده سازند قم توسط برینینگ و همکاران [۲۵]، زیست‌چینه‌نگاری و چینه‌نگاری سکانسی و محیط رسوی سازند قم در دو برش از حوضه پس‌کمان و پیش‌کمان توسط ریوترا و همکاران [۴۵]، زیست‌چینه‌نگاری روزن‌داران سازند قم در منطقه چنان به وسیله بهفروزی و صفری [۲۴]، بررسی بسته شدن راه دریایی تیتان توسط محمدی و همکاران [۳۸]، زیست‌چینه‌نگاری سازند قم در جنوب‌غرب تفرش به وسیله مغفوری‌مقدم و همکاران [۳۷]، زیست‌چینه‌نگاری سازند قم در شمال آباده توسط محمدی و همکاران [۳۹]، چینه‌نگاری سکانسی سازند قم در جنوب شهر قم توسط امیرشاه‌کرمی و همکاران [۲۱] اشاره کرد.

سازند قم شامل توالی از مارن، سنگ‌آهک، ژیپس و سنگ‌های سیلیسی آواری است که در ساحل شمال خاوری راه دریایی تیتان نهشته شده است [۴۵]. مطالعه سازند قم به دلیل اهمیت اقتصادی و نقش ارتباطی مهمی که این سازند بین اقیانوس هند و آرام و دریای مدیترانه داشته است، ضروری و مهم است [۴۰]. نهشته‌های سازند قم به سن الیگوسن تا میوسن نشانگر آخرین پیش‌روی دریا در ایران مرکزی هستند [۲۹ و ۴۰] که زمان این پیش‌روی در همه جای ایران مرکزی یکسان نبوده است [۱۱ و ۱۱]. به دلیل تغییرات رخساره‌ای زیاد، برش الگویی برای سازند قم معرفی نشده است اما در ناحیه قم، ناحیه‌ای به عنوان ناحیه الگو معرفی شد [۱] و [۳۹]. تاکنون در مطالعات زیست‌چینه‌نگاری نواحی اطراف سمنان از بایوزوناسیون آدامز و بورژوا [۱۹] استفاده شده است در این پژوهش تلاش شده است تا علاوه بر بایوزوناسیون مذکور از بایوزوناسیون‌های ارائه شده توسط لارسن و همکاران [۳۶] و ون‌بوخم و همکاران [۴۸] نیز استفاده گردد. علاوه بر این، بررسی ریزرخساره‌ها و تفسیر محیط رسوی سازند قم در برش تلن کوه واقع در جنوب باختری سمنان نیز صورت گرفته است.

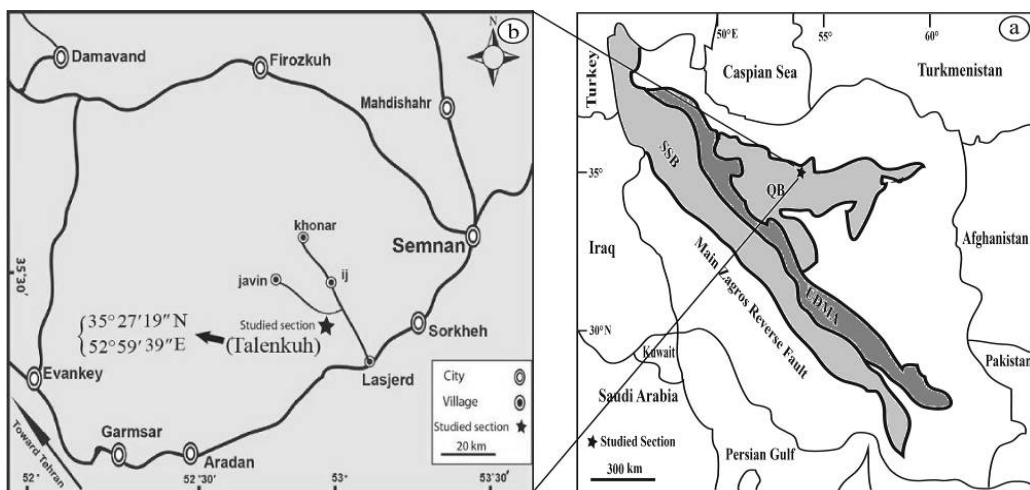
سازند قم از زون‌بندی‌هایی که برای سازند آسماری توسط لارسن و همکاران [۳۶] و ون بوخم و همکاران [۴۸] ارائه شده‌اند، استفاده گردید.

موقعیت جغرافیایی، زمین‌شناسی و چینه‌شناسی
رسوبات الیگومیوسن راه دریایی تیتان در پلیت ایران (سازند قم) در حوضه پیش‌کمان سندج-سیرجان، کمان ماقمایی ارومیه دختر (حوضه بین‌کمانی) و حوضه پس‌کمان ایران مرکزی قرار گرفته‌اند [۳۹]. منطقه مورد مطالعه براساس مطالعات ریوترا و همکاران [۴۵] در حوضه پس‌کمان ایران مرکزی و در ۵۰ کیلومتری جنوب‌باخری سمنان واقع شده است و دارای مختصات جغرافیایی عرض شمالی $35^{\circ} 27' 19''$ و طول $59^{\circ} 52' 05''$ است. مسیر دسترسی به برش مورد مطالعه از جاده اصلی تهران- سمنان بوده و مسیر فرعی از جاده اصلی، ۱۲ کیلومتر است (شکل ۱). سازند قم در برش تلن‌کوه 605 متر سترا دارد و شامل شش واحد سنگ‌چینه‌ای است که از نظر سنگ‌شناسی به طور عمده شامل سنگ‌آهک، تناوب سنگ‌آهک و مارن، سنگ‌آهک مارنی و زیپس است (شکل‌های ۲ و ۳). مزیرین سازند قم به صورت ناپیوستگی فرسایشی بر روی سازند قرمز زیرین قرار گرفته است و مزبالي این سازند در این برش احتمالاً بهدلیل فرسایش یا گسل خوردگی نامشخص است.

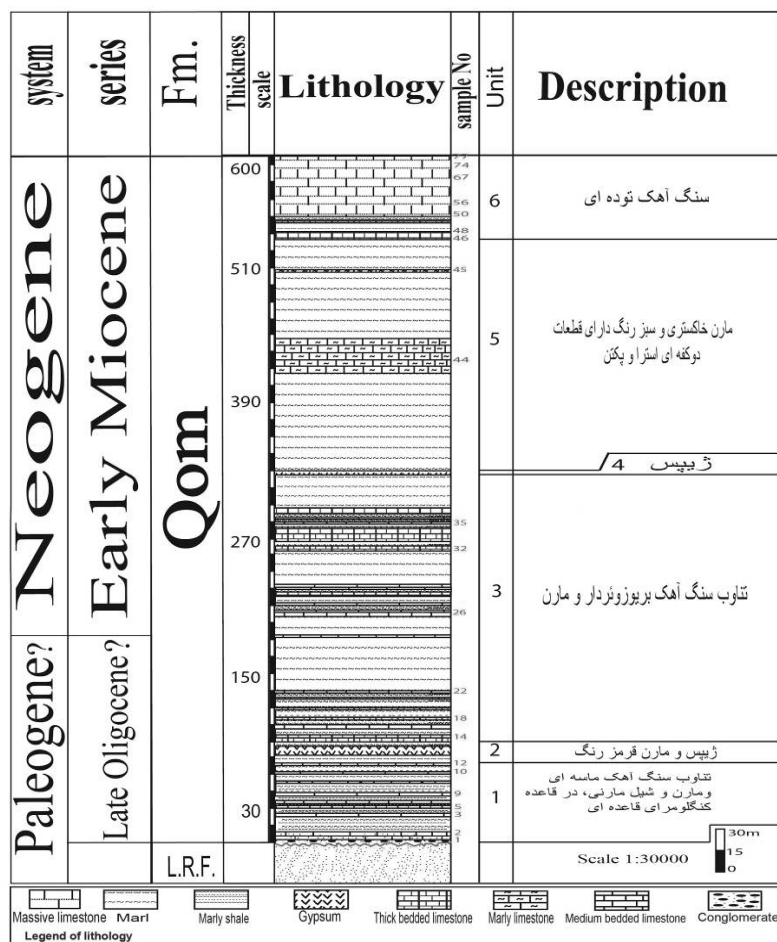
در این راستا، مطالعات دیگری هم انجام گرفته است [۱۰، ۹؛ ۱۳، ۱۲؛ ۱۴، ۱۵؛ ۱۶ و ۱۸].

روش مطالعه

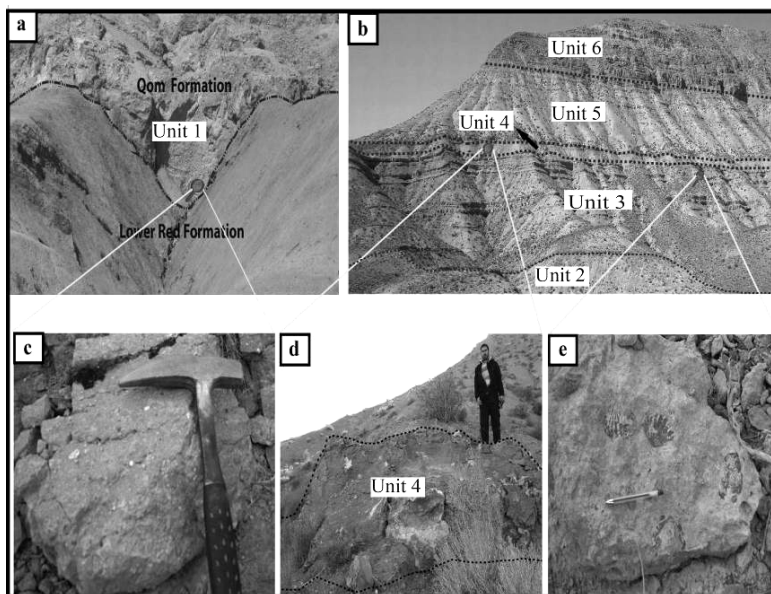
به‌منظور دست‌یابی به اهداف مورد نظر، مطالعات در دو مرحله میدانی و آزمایشگاهی انجام شد. پس از بررسی‌های میدانی برش چینه‌شناسی مناسب واقع در جنوب‌باخری سمنان انتخاب شد. نمونه‌برداری عمود بر لایه‌بندی‌ها صورت گرفت و با تهیه ۱۵۴ مقطع نازک میکروسکپی از نمونه سنگ‌ها، امکان شناسایی میکروفسیل‌ها از آن‌ها فراهم گردید. پس از مطالعه دقیق مقاطع نازک و شناسایی میکروفسیل‌ها و ریزرساره‌ها، عکس‌برداری از آن‌ها صورت گرفت. سپس روزن‌داران کفزی براساس منابع موجود از جمله آدامز و بورژوا [۱۹] و آدامز [۲۰] شناسایی گردیدند. نام‌گذاری بافت سنگ‌های کربناته براساس طبقه‌بندی دانهام [۳۰] صورت گرفت سپس ریزرساره‌های تعیین شده با ریزرساره‌های استاندارد فلوگل [۳۱] مطابقت داده شد. پس از تعیین گسترش و پراکندگی چینه‌شناسی روزن‌داران کفزی در برش مورد مطالعه، نمودار پراکندگی روزن‌داران کفزی ترسیم شد و تعیین سن برش مورد مطالعه با توجه به روزن‌داران کفزی شاخص صورت گرفت. بهعلت عدم معرفی یک زون‌بندی رسمی برای سازند قم و شباهت مجموعه روزن‌داران کفزی سازند قم با سازند آسماری، جهت تعیین سن نهشت‌های



شکل ۱. جایگاه زمین‌شناسی و جغرافیایی منطقه مورد مطالعه: a - نقشه جایگاه رسوبات سازند قم در ایران [۴۴، ۳۳] به همراه موقعیت برش مورد مطالعه در حوضه پس‌کمان (QB: حوضه پیش‌کمان قم، SSB: حوضه بین‌کمان سندج-سیرجان، UDMA: کمان ماقمایی ارومیه-دختر); b - جایگاه جغرافیایی و راه دسترسی به برش تلن‌کوه [۴]



شکل ۲. ستون سنگی سازند قم در برش تلن کوه واقع در جنوب باختری سمنان

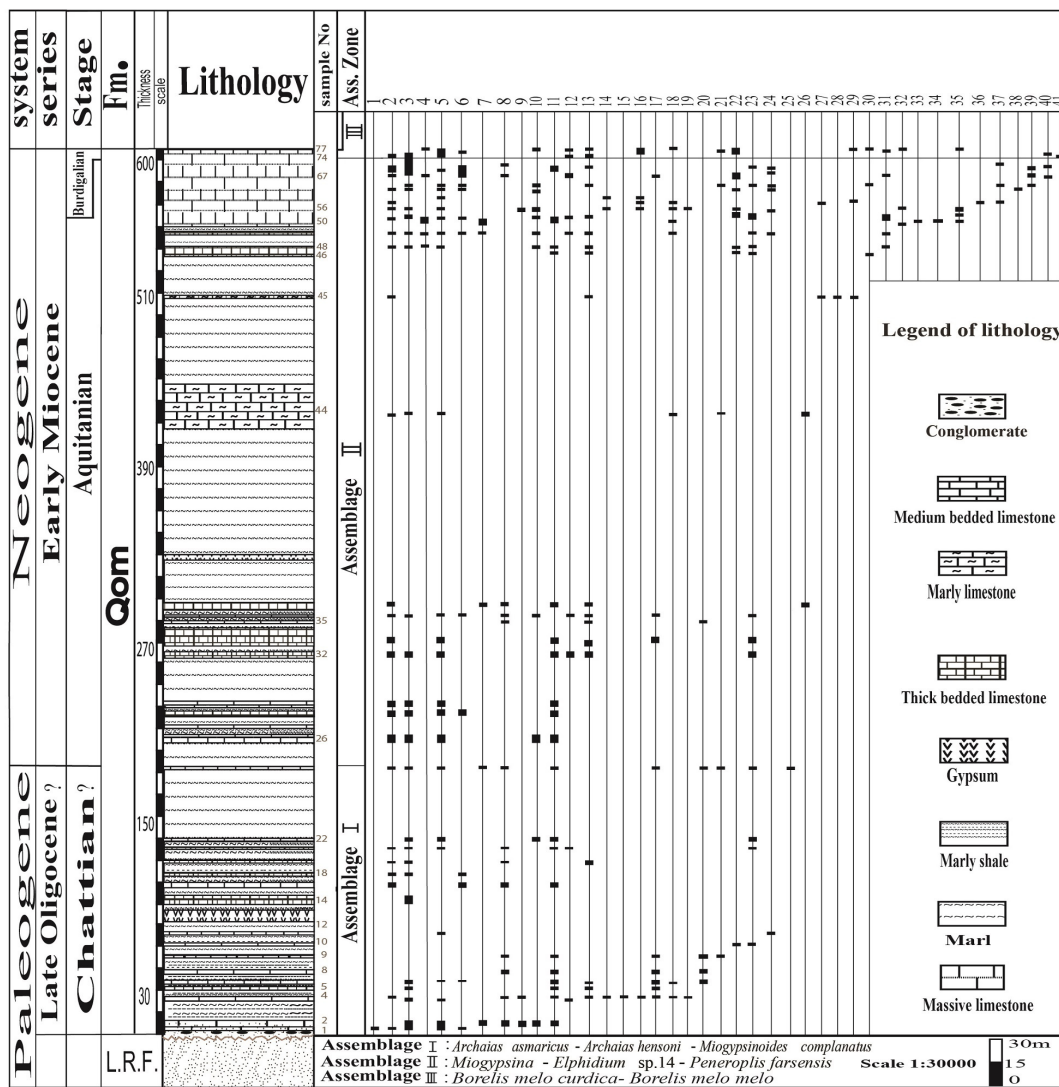


شکل ۳. تصاویری از برش تلن کوه، a-نمایی از مرز زیین سازند قم با سازند قرمز زیرین، b-نمایی از واحدهای سازند قم (دید به سمت جنوب)، c-نمایی نزدیک از کنگلومرای قاعده‌ای سازند قم، d-نمایی نزدیک از واحد چهارم که از ژیپس شکل گرفته است، e-نمایی از سنگ آهک پکن دار متعلق به واحد سوم(محل برش و واحدهای سنگی به ترتیب در شکل های ۱ و ۲)

در این برش منجر به شناسایی ۳۴ جنس و ۱۸ گونه شد که بر مبنای گسترش و پراکندگی آن‌ها سه مجموعه فونی تشخیص داده شد (شکل ۴). به علت عدم معرفی یک بایوزوناسیون رسمی برای سازند قم و شbahت فونای سازند قم و آسماری، جهت تعیین سن و بایوزون‌های نهشته‌های برش مورد مطالعه، از بایوزوناسیون‌های لارسن و همکاران [۳۶] و نوبخم و همکاران [۴۸] استفاده شده است (شکل ۵).

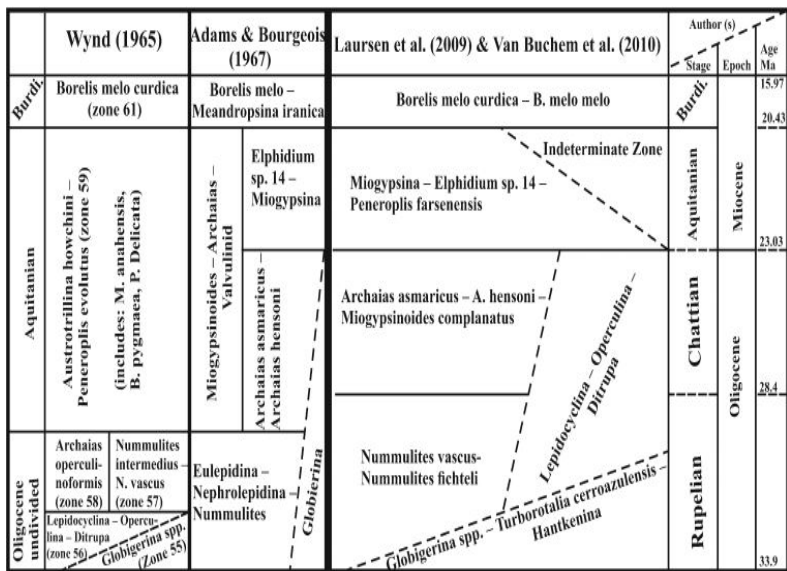
نتایج و بحث

زیست‌چینه‌نگاری سازند قم در برش مورد مطالعه مهم‌ترین شاخص‌های زیستی مورد استفاده در مطالعات زیست‌چینه‌نگاری در برش تلن کوه روزن‌داران کفزی هستند که می‌توان با توجه به توزیع آن‌ها در لایه‌های رسوبی، اجتماع و پراکندگی زون‌های زیستی را معرفی نمود. هم‌چنین در برش مورد مطالعه علاوه بر روزن‌داران، دو کفه‌ای‌ها، برویزوئر، شکم‌پایان و خارپوستان نیز حضور دارند. بررسی‌های انجام شده بر روی روزن‌داران کفزی



شکل ۴. ستون زیست‌چینه‌نگاری سازند قم در برش تلن کوه

1. *Asterigerina rotula*, 2. *Triloculina* sp., 3. *Quinqueloculina* sp., 4. *Triloculina trigonula*, 5. Miliolids, 6. *Dendritina rangi*, 7. *Glomospira* sp., 8. *Ammonia* sp., 9. *Austrotrillina howchini*, 10. *Massilina* sp., 11. *Rotalia* sp., 12. *Spiroculina* sp., 13. *Elphidium* sp., 14. *Triloculina tricarinata*, 15. *Miogypsinoides* sp., 16. *Sphaerogypsina globulus*, 17. *Rotalia viennotti*, 18. *Textularia* sp., 19. *Miogypsinia* sp., 20. *Ammonia beccarii*, 21. *Discorbis* sp., 22. *Pyrgo* sp., 23. *Chilostomella* sp., 24. *Spirolina* sp., 25. *Archaias cf. kirkukensis*, 26. *Nodosaria* sp., 27. *Bozorgniella qumiensis*, 28. *Elphidium* sp. 14, 29. *Amphistegina* sp., 30. *Elphidium* sp. 1, 31. *Planorbulina* sp., 32. *Valvulinid* sp., 33. *Nephrolepidina tournoueri*, 34. *Lepidocyclina* sp., 35. *Bigenerina* sp., 36. *Amphistegina lessonii*, 37. *Spirolina cylindracea*, 38. *Reussella spinulosa*, 39. *Schlumbergerina* sp., 40. *Praerhapydionina delicata*, 41. *Borelis melo curdica*)



شکل ۵. زون‌بندی‌های ارائه شده برای سازند آسماری توسط وایند [۵۲]، آدامز و بورژوا [۱۹]، لارسن و همکاران [۳۶] و ون بوخم و همکاران [۴۸]. به علت عدم معرفی یک زون‌بندی رسمی برای سازند قم و شباخت مجموعه روزن‌داران کفزی روزن‌داران کفزی سازند قم با سازند آسماری، جهت تعیین سن نهشته‌های سازند قم از زون‌بندی‌هایی که برای سازند آسماری معرفی شده‌اند، استفاده می‌گردد.

بدون همراهی با *Nummulites* می‌تواند در اکی‌تائین نیز رخ دهد. همچنان مجموع تجمع فونی اول و دوم را می‌توان معادل با بایوزون *Miogypsinoidea-Archaicas-Valvulinid Assemblage Zone* [۱۹] ارائه شده است، دانست.

مجموعه فونی سوم

این مجموعه در ۵ متری انتهایی برش وجود دارد و حضور روزن‌داران شاخصی چون *Borelis melo curdica* و *Dendritina rangi* در تجمع فونی سوم این برش، نشان دهنده انتبار با بایوزون *Borelis melo curdica*-*Borelis melo melo* لارسن و همکاران [۳۶] و ون بوخم و همکاران [۴۸] به سن بوردیگالین است. همچنان این مجموعه فونی منطبق با بایوزون *Borelis melo curdica*-*Meandropsina iranica Assemblage zone* بورژوا [۱۹] است. علاوه بر این با توجه به حضور *Borelis austrotrillina howchini melo curdica* و *Miogypsina* sp. می‌توان این برش را هم‌ارز با بایوزون‌های SB24 و SB25 کاوازاك و پوئیگنات [۲۸] که برای الیگو-میوسن حوضه اروپا ارائه شده است، دانست. بنابراین بر مبنای زون‌بندی لارسن و همکاران [۳۶] و ون بوخم و همکاران [۴۸] سن نهشته‌های سازند قم در برش تلن کوه شاتین؟-بوردیگالین است.

مجموعه فونی اول

این مجموعه از قاعده تا ضخامت ۱۸۳ متری برش مورد مطالعه وجود دارد و با توجه به حضور *Archaias cf.* *Miogypsinoidea* sp. *kirkukensis* *Archaias asmaricus*- *Archaias hensonii*-*Miogypsinoidea complanatus* Assemblage Zone [۴۸] لارسن و همکاران [۳۶] و ون بوخم و همکاران [۴۱] در خصوص سن میوسن پیشین برای نهشته‌های سازند قم در عرض‌های بالای ۳۵ درجه و همچنان قرارگیری این مجموعه در زیر مجموعه فونی دوم، سن شاتین؟ برای این مجموعه فونی در نظر گرفته شده است.

مجموعه فونی دوم

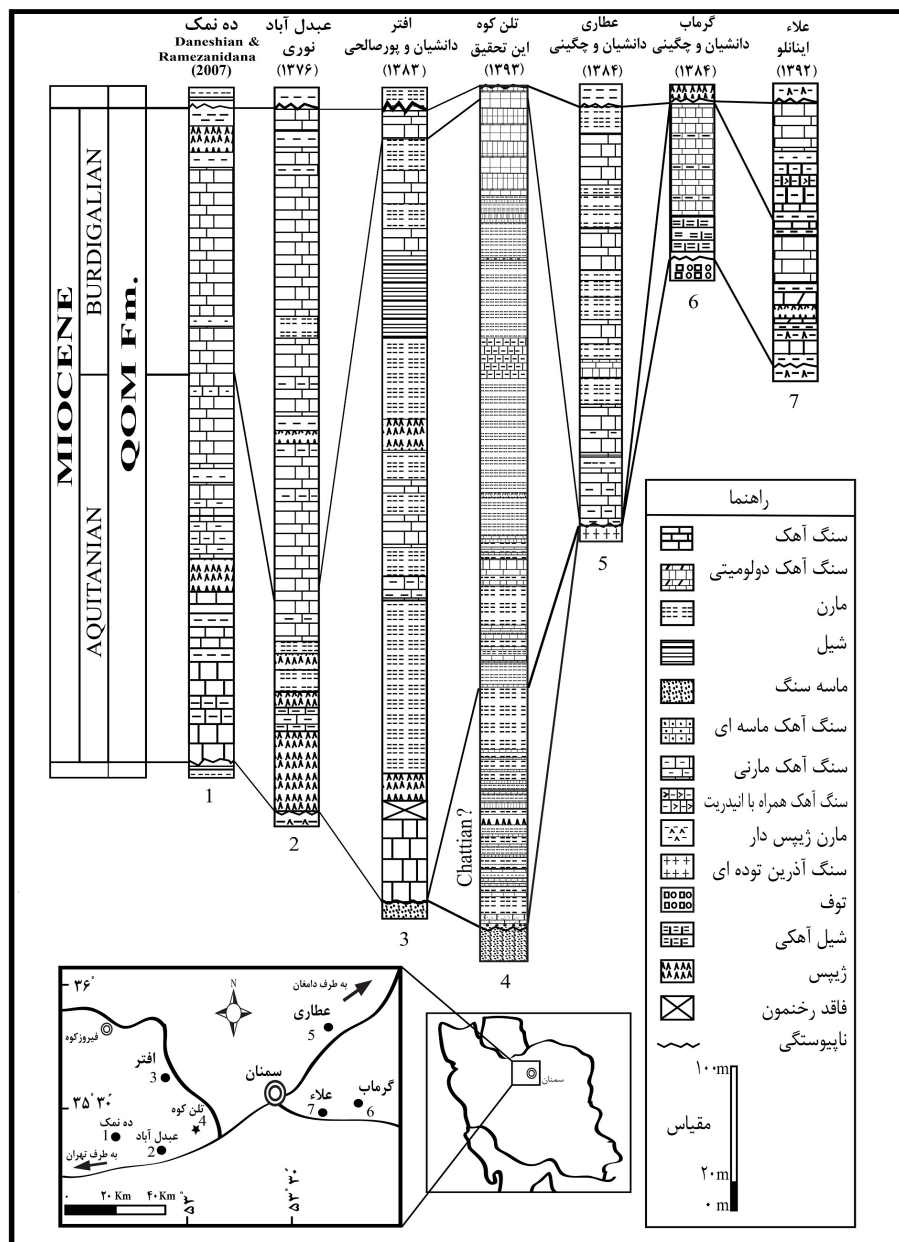
این مجموعه ۴۱۷ متر ضخامت دارد و با توجه به حضور *Miogypsina* sp. 14 و *Elphidium* sp. 14-*Peneroplis farsensis* sp. 14-*Nummulites vascus*-*N. fichteli* لارسن و همکاران [۳۶] و ون بوخم و همکاران [۴۸] دانست که سن اکی‌تائین به آن نسبت داده شده است. همچنان در این مجموعه جنس‌های *Eulepidina* sp. و *Lepidocyclus* sp. حضور دارند که هر چند لارسن و همکاران [۳۶] و ون بوخم و همکاران [۴۸] سن شاتین به آن‌ها داده‌اند اما طبق نظر محمدی و همکاران [۴۱] حضور *Eulepidina* sp.

سمنان (اینالو [۳]) و برش‌های عطاری و گرماب در شمال خاوری و جنوب خاوری سمنان (دانشیان و چگینی [۸]، (شکل ۶).

با بررسی برش‌های مذکور می‌توان چنین نتیجه گرفت که نهشته‌های سازند قم در برش تلن‌کوه شbahت زیادی به لحاظ ستبراء، سنگ‌چینه‌نگاری و زیست‌چینه‌نگاری به برش افتاده دارد. هم‌چنین بررسی برش‌های مذکور نشان دهنده انتباطق با نظر محمدی و همکاران [۴۱] در خصوص عرض‌های بالاتر از 35° است.

همبستگی کرونواستراتیگرافی برش مورد مطالعه با برخی از نقاط هم‌جوار سمنان

در این بخش نهشته‌های سازند قم با شش ناحیه از ایران مرکزی (نواحی اطراف سمنان) مورد مقایسه قرار گرفت که این نواحی (از سمت باخته به سمت خاور) عبارتند از: برش دهنمک در جنوب‌باخته سمنان (دانشیان و رمضانی دانا [۲۹]), برش عبدالآباد در جنوب‌باخته سمنان (نوری [۱۷]), برش افت در شمال‌باخته سمنان (دانشیان و پورصالحی [۷]), برش علاء در شمال خاوری



شکل ۶. تطابق برش تلن‌کوه با برش‌های هم‌جوار به همراه موقعیت جغرافیایی آن‌ها

رخساره مشابه‌ای از سازند آسماری در شمال باختر زاگرس معرفی کرده‌اند.

B2: وکستون بایوکلستی دارای کوارتز و بلورهای تبخیری: این ریزرخساره از قطعات دوکفه‌ای، کوارتز و بلورهای لوزی شکل دلولومیت و ژیپس تشکیل شده است و آلوکم‌های فرعی آن شامل جلبک قرمز و روزن داران پرسلانوуз از جمله میلیولید و دندربیتینا هستند که در زمینه‌ای از میکرات قرار دارند. وجود میکرات فراوان، حضور دانه‌های کوارتز در یک زمینه کاملاً میکراتی و نبود قابل توجه آثار جانوری گویای محیط خیلی کم عمق محصور شده با انرژی کم می‌باشد [۴۴]. همچنین فراوانی گل، ارتباط این ریزرخساره با ریزرخساره‌های لاغون و کمی فونا حاکی از تشکیل این ریزرخساره در پهنه کشنندی است (شکل ۸-۲).

دسته ریزرخساره‌های لاغون: این ریزرخساره‌ها خود به دو دسته لاغون محصور شده و لاغون باز (دارای ارتباط با دریای باز نسبت به لاغون محصور) تقسیم می‌شوند.

ریزرخساره‌های مربوط به لاغون محصور شده^۴

C1: وکستون - پکستون دارای روزن داران بدون منفذ و بایوکلست: بافت این ریزرخساره از وکستون تا پکستون در تغییر است. آلوکم‌های اصلی آن شامل روزن داران پرسلانوуз (از جمله دندربیتینا و دیگر میلیولیدها) و خردکهای دوکفه‌ای پوشش‌دار هستند. از اجزای فرعی می‌توان به قطعات خارپوست و گاستروپود اشاره کرد.

میلیولیدها بی‌منفذهای بی‌همزیست هستند که می‌توانند در آب‌های کم عمق از نیمه شور تا فوق شور زندگی کنند و نشان‌دهنده‌ی محیط‌های با گردش بسیار محدود آب هستند و حضور فراوان آن‌ها به عنوان شاخصی برای محیط لاغون محسوب می‌شود [۳۲]. فراوانی روزن داران پرسلانوуз به خصوص میلیولیدها نشان از محیط لاغون دارد [۴۲]. محمدی و همکاران [۳۸] رخساره مشابه‌ای از محیط لاغون سازند قم در ناحیه جنوب کاشان و وزیری‌مقدم و همکاران [۵۰] نیز این رخساره را از سازند آسماری در ناحیه لالی معرفی کرده‌اند (شکل ۸-۴).

رخساره‌ها

در برش مورد مطالعه، رخساره‌ها براساس وجود و درصد فراوانی انواع آلوکم‌ها در ۵ دسته‌ی رخساره‌های سنگی و تبخیری ساحلی و فراکشنده، ریزرخساره‌های پهنه کشنندی، لاغون (لاغون محصور و لاغون باز)، سد ماسه‌ای بایوکلستی^۱ و دریای باز کم عمق (سراشیب) تقسیم‌بندی شده‌اند (شکل ۷) که عبارتند از:

دسته رخساره ساحلی و فراکشنده^۲

A1: لیتوفاسیس کنگلومرای پلی‌ژنتیک: قطعات اصلی تشکیل‌دهنده این رخساره شامل چرت، قطعات ولکانیکی و ماسه‌سنگی غالباً با اندازه بیش از ۲ میلی‌متر و جورشدگی ضعیف و همچنین قطعات جلبک قرمز (کورالیناسه) است که در زمینه‌ای از میکرات قرار گرفته‌اند (شکل ۸-a). این رخساره به صورت کنگلومرای قاعده‌ای در ابتدای سازند قرار دارد و شروع پیش‌روی دریایی قم را نشان می‌دهد. وجود دانه‌های آواری زاویه‌دار و با گردش‌گی ضعیف نشان از جابجایی محدود این قطعات حاصل از خشکی دارد. همچنین همراهی این ذرات آواری با قطعات فسیلی دریایی از جمله قطعات کورالیناسه آبیانگر محیط ساحلی این رخساره است.

A2: رخساره تبخیری ژیپس: این رخساره در ۷۰ و ۳۳۰ متری ستون سنگ‌چینه‌ای برش مورد مطالعه قرار دارد که جزو رخساره‌های تبخیری سازند قم محسوب می‌گردد. این رخساره بهدلیل نرم بودن قابلیت مقطع گیری ندارد (نمایی میدانی از این رخساره در شکل ۸-d نشان داده شده است). این رخساره نشان از آب و هوای گرم و خشک دارد و می‌توان آن را با کمربند رخساره‌ای شماره ۱۰ ویلسون [۵۲] معادل دانست.

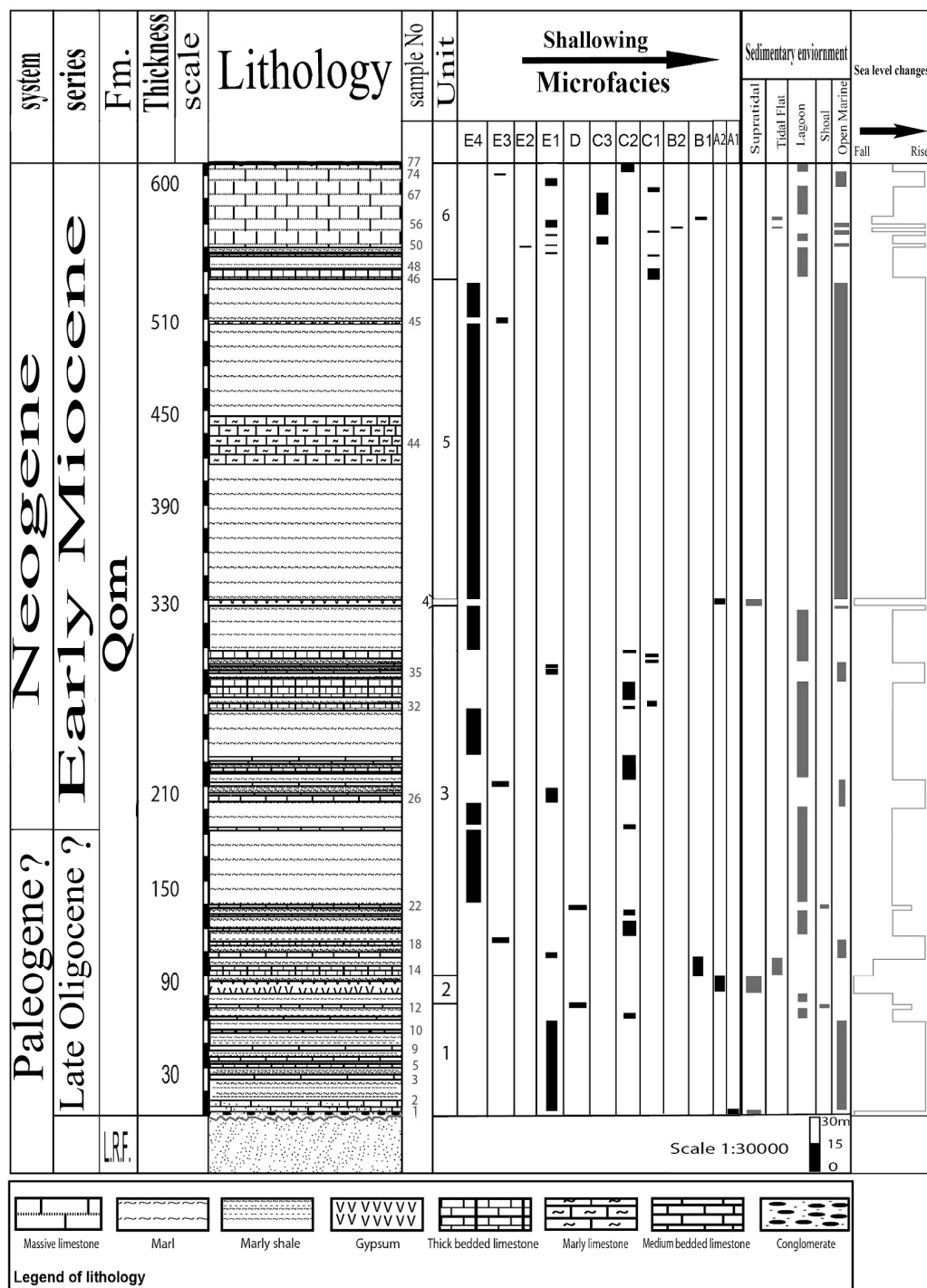
دسته ریزرخساره‌های پهنه کشنندی^۳

B1: مادستون با بافت فنستراال: این ریزرخساره از میکرات قطبی شده که فاقد فسیل بوده و دارای بافت فنستراال است. عدم حضور فونا و وجود بافت فنستراال نشان‌دهنده‌ی شکل‌گیری این ریزرخساره در محیط کشنندی است (شکل ۸-b). وزیری‌مقدم و همکاران [۵۱]

¹ Shoal

² Beach and Supratidal facies

³ Tidal flat microfacies



شکل ۷. ستون توزیع عمودی ریزرساره‌های سازند قم در پرش تلن کوه

میلیولیدها و جنس‌هایی از قبیل *Dendritina* و روزن‌داران با دیواره هیالین از جمله خانواده روتالیده و قطعات دوکفه‌ای هستند (شکل ۸-۶) وجود تنوع بالای فونا در این ریزرساره از جمله قرار گرفتن روزن‌داران با دیواره پرسلانوز و هیالین در کنار

ریزرساره‌های مربوط به لاگون باز^۱ C2: وکستون - پکستون دارای روزن‌داران بدون منفذ، منفذدار و بایوکلس: آلوکم‌های اصلی این ریزرساره شامل روزن‌داران با دیواره پرسلانوز مانند

^۱ Open lagoon microfacies

حضور لپیدوسایکلیناهای بزرگ و دیگر استنوهالین‌های موجود در این ریزرساره، شوری نرمال دریایی و قسمت‌های پایین زون نوری و یک محیط دریایی باز با اثری پایین تا متوسط را نشان می‌دهد [۳۵؛ ۴۶ و ۵۱]. E2: پکستون- گرینستون دارای جلبک قرمز، بریوزوئر، کرینویید: از جمله آلوکم‌های این ریزرساره جلبک قرمز کورالیناسه (جنس‌های لیتوفیلوم و لیتوتمینیوم)، بریوزوئر و کرینویید هستند. آلوکم‌های فرعی شامل خردنهای دوکفه‌ای و میلیولید هستند. در بعضی از نمونه‌ها روزن‌داران هیالین مثل روتالیا نیز وجود دارند. فراوانی فوناهای اسکلتی خاص دریایی باز از جمله کورالیناسه و کرینویید نشان از شرایط شوری دریایی باز با چرخش آب مناسب و انرژی هیدرودینامیکی متوسط دارد [۴۳]. بنابراین با توجه به غالب بودن آلوکم‌های مرتبط با دریایی باز و استنوهالین و نبود روزن‌داران پلاژیک، این ریزرساره را می‌توان به نواحی کم‌عمق دریایی باز نسبت داد (شکل‌های k-۸ و l-۸).

E3: پکستون بریوزوئردار: بریوزوئر عنصر اصلی در این ریزرساره است که بیش از نیمی از این رخساره را شامل می‌شود. بریوزوئرها موجوداتی بیناز به نور و هتروترووف هستند [۲۶]. فقدان روزن‌داران بزرگ همزیست‌دار و حضور بریوزوئرها که مستقل از نور هستند، نشان از تهنشینی این رخساره در زیر زون نوری و داخل منطقه آفوتیک (بدون نور) دارد. محمدی و همکاران [۳۸] رخساره مشابه‌ای را از سازند قم در ناحیه جنوب کاشان معرفی کرده‌اند (شکل ۱-۸).

E4: رخساره مارنی: رخساره مارن در بخش‌های میانی و بالایی توالی مورد مطالعه و بیشتر به رنگ سبز روشن و خاکستری دیده می‌شود. در بخش‌های بالایی این رخساره میان‌لایه‌های آهکی مارنی وجود دارد که حاوی روزن‌داران با پوسته منفذدار از جمله روتالیده و لپیدوسایکلینیده هستند. تناوب این بخش از رخساره با ریزرساره دریایی باز (E1) نشان از تعلق بخش‌های بالایی این رخساره به بخش کم عمق دریایی باز دارد. در بخش‌های میانی توالی، در میان‌لایه‌های آهکی این رخساره روزن‌داران پرسلانوز از جمله Miliolids می‌شوند که به جهت حضور آن‌ها و هم‌چنین تناوب این قسمت با رخساره‌های لاغونی، این قسمت از این رخساره می‌تواند متعلق به لاغون باشد.

هم، نشان از ارتباط بالای این قسمت از لاغون با دریای باز دارد [۲۲؛ ۲۳؛ ۲۴؛ ۴۶ و ۵۰].

C3: پکستون- گرینستون دارای میلیولید، بریوزوئر، کرینویید: از آلوکم‌های اصلی این ریزرساره می‌توان به میلیولیدها، بریوزوئر، خارپوست (قطعات کرینویید) اشاره کرد. دیگر آلوکم‌های موجود شامل جلبک‌های قرمز کورالیناسه و دوکفه‌ای استرا هستند. با توجه به قرارگیری فوناهای استنوهالین و یوری‌هالین در کنار یکدیگر و تنوع بالای فونا این ریزرساره متعلق به محیط لاغون به سمت دریایی باز است [۵۱]؛ (شکل‌های f-۸ و g-۸).

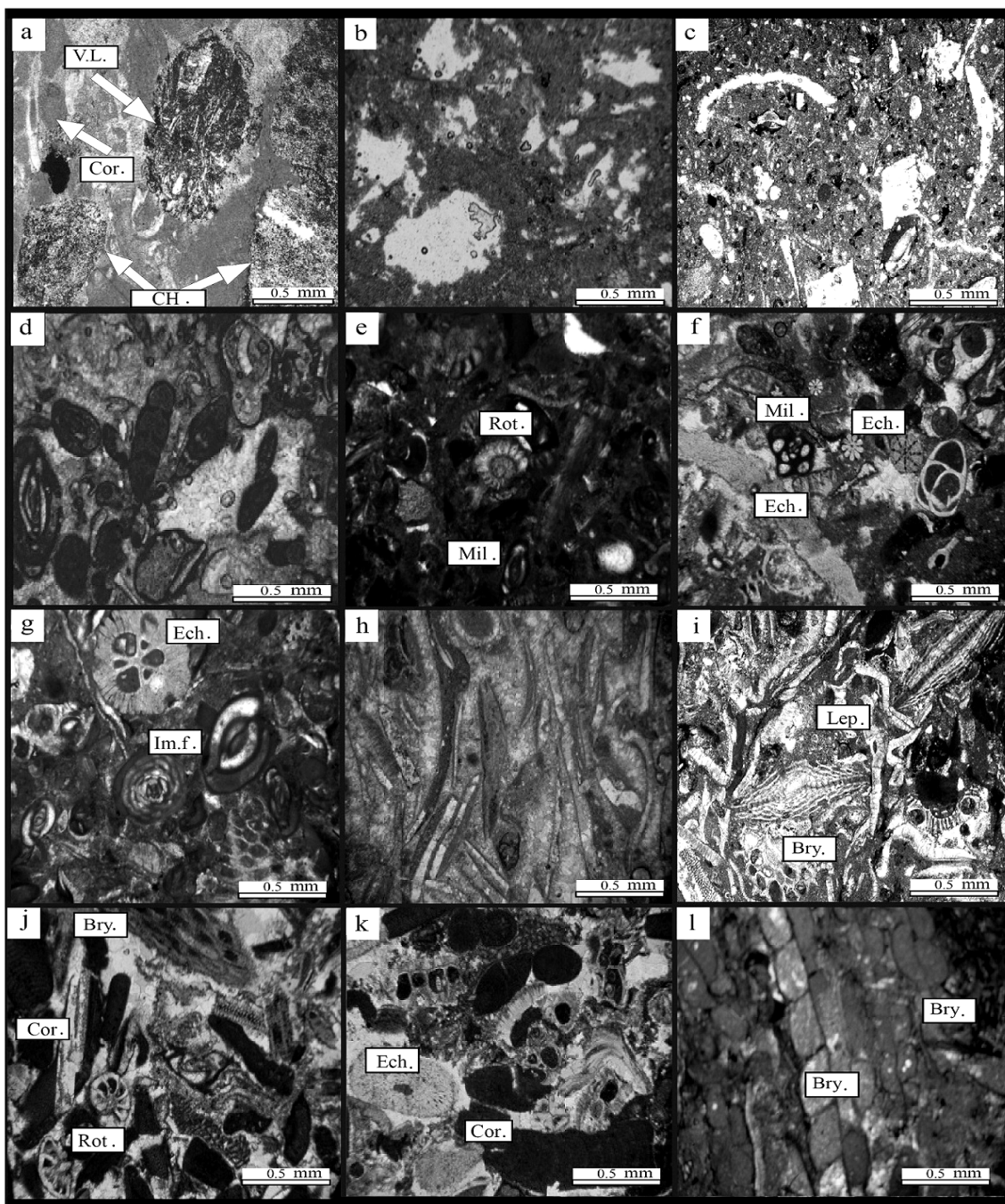
ریزرساره مربوط به سد ماسه‌ای با یوکلستی D: گرینستون یا یوکلستی: فراوانی خردنهای دوکفه‌ای ویژگی مهم این ریزرساره است. خردنهای بریوزوئر از اجزای فرعی این ریزرساره هستند. بعضی از این یا یوکلستها پوشش میکرایتی دارند. جورشدنگی و گردشدنگی خوب و فقدان زمینه دانه‌ریز شرایط پرانرژی محیط تشکیل این رخساره را نشان می‌دهد. براساس شباهت این رخساره با ریزرساره استاندارد شماره ۲۶ (RMF- 26) توصیف شده فلوگل [۳۱] و ویلسون [۵۲] می‌توان آن را به سدهای یا یوکلستی که بالاتر از قاعده تأثیر امواج عادی^۲ که در حاشیه پلاتفرم تشکیل می‌شوند، نسبت داد (شکل h-۸).

ریزرساره‌های مربوط به دریایی باز کم عمق^۳
E1: پکستون دارای روزن‌داران منفذدار، بریوزوئر، جلبک قرمز و یا یوکلست: آلوکم‌های غالب در این ریزرساره شامل روزن‌داران هیالین لپیدوسایکلینیده (جنس یولپیدینا و نفرولپیدینا) و روتالیا، بریوزوئر، جلبک قرمز کورالیناسه و خردنهای دوکفه‌ای و آلوکم فرعی شامل کرینویید است که در زمینه‌ای از میکرایت قرار دارند (شکل ۱-۸).

جلبک قرمز کورالیناسه با وجود وابسته بودن به نور می‌تواند در شرایط الیکوفوتیک نیز زندگی کند و در آبهای با نفوذ کم نور نیز به فراوانی یافت می‌شود [۳۶].

² Fair weather wave base

³ Shallow open marine

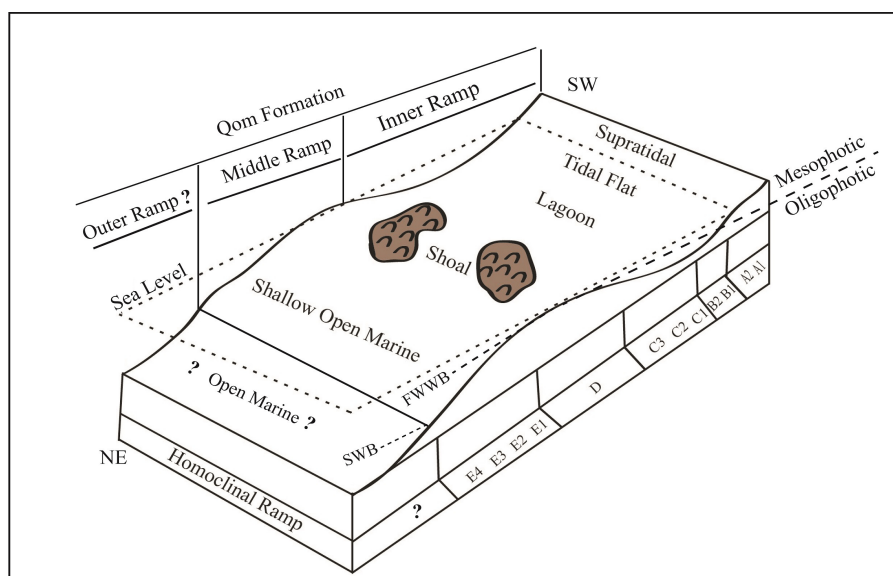


شکل ۸. پلیت ریزرساره‌ها: a- لیتوفاسیس کنگلومرای پلی‌زنیک (A1)، b- وکستون با یوکلستی دارای دولومیت و کوارتز (B1)، c- مادستون با بافت فسترا (B2)، d- وکستون-پکستون داران بدون منفذ و با یوکلست (C1)، e- وکستون-پکستون دارای روزن‌داران بدون منفذ، منفذدار، و با یوکلست (C2)، f- وکستون-گرینستون دارای میلیولید، بریوزوئر، کرینویید (C3)، g- گرینستون با یوکلستی (D)، i- پکستون دارای روزن‌داران منفذدار، بریوزوئر، جلبک قرمز و با یوکلست (E1)، j و k- پکستون-گرینستون دارای کورالیناسه آ، بریوزوئر و کرینویید (E2)، l- پکستون بریوزوئردار (E3). V.L.: قطعات ولکانیکی، CH: چرت، Cor: جلبک قرمز، Im.F: روزن‌داران پرسلانوز، Rot: روتالیا، Bry: بریوزوئر، Mil: میلیولید، Lep: لپیدوسایکلین، Ech: خارپوست)

فراکشنده دارد و بافت فنستراو در مادستون و حضور بلورهای دولومیت و کوارتز و فراوانی کم‌فونا از نشانه‌های رسوب‌گذاری در محیط پهنه کشنده است. فراوانی روزن‌داران با دیواره پرسلانوز نشان از محیط لاغون محصورشده در رمپ داخلی دارد [۴۲ و ۳۲]. به سوی سد ماسه‌ای بایوکلستی اجتماع دوگانه روزن‌داران پرسلانوز در کنار روزن‌داران هیالین مثل روتالیده‌ها شرایط رسوب‌گذاری در حاشیه پلاتفرم و در بخش انتهایی لاغون به سمت دریای باز را نشان می‌دهد [۳۲ و ۴۶]. رخساره گرینستون بایوکلستی (D) رخساره سد ماسه‌ای بایوکلستی است که بخش عمده دانه‌های آن از جانداران دریایی باز که در حاشیه پلاتفرم زندگی می‌کنند، شکل گرفته است. نبود گل و جورشدگی دانه‌ها یک محیط پرانژی را برای این رخساره نشان می‌دهد [۵۰]. رخساره‌های دورتر از حاشیه پلاتفرم حاوی تعداد زیادی از روزن‌داران روتالیدی بزرگ منفذدار از جمله روتالیا و لپیدوساکلین‌های بزرگ است که دلالت بر رسوب‌گذاری در بخش کم‌عمق و دارای نور دریایی باز دارد [۳۲]. همان‌گونه که بیان شد روزن‌داران شناور که شاهدی بر وجود رمپ خارجی هستند در برش تلن‌کوه دیده نشده‌اند.

مدل محیط رسوبی

براساس توزیع روزن‌داران کفازی و تفسیر ریزرساره‌های معروفی شده، پنج زیرمحیط رسوبی برای سازند قم در برش تلن‌کوه تشخیص داده شد. این پنج زیرمحیط شامل ساحل و فراکشنده، پهنه کشنده، لاغون، سد ماسه‌ای بایوکلستی و قسمت کم‌عمق دریایی باز هستند. با توجه به خصوصیات ریزرساره‌ها، نبود ریف پیوسته بین دریایی باز و لاغون و همچنین فقدان ساختارهای ریزشی و لغزشی الگوی رسوب‌گذاری سازند قم در برش تلن‌کوه رمپ کربناته هموکلینال پیشنهاد می‌گردد (شکل ۹). بر پایه مطالعات بورچت و رایت [۲۷] یک پلاتفرم کربناته رمپ به سه بخش رمپ درونی، میانی و بیرونی تقسیم می‌شود. در برش تلن‌کوه ریزرساره‌های مربوط به مناطق عمیق که ویژگی شاخص آن‌ها حضور روزن‌داران شناور است دیده نشده است بنابراین محیط رمپ کربناته به دو بخش داخلی و میانی تقسیم می‌شود؛ به طوری که در رمپ داخلی مجموعه رخساره‌های ساحلی و فراکشنده (A)، پهنه کشنده (B)، لاغون (C)، سد ماسه‌ای بایوکلستی (D) و در رمپ میانی مجموعه رخساره‌های دریایی باز کم‌عمق (E) نهشته شده‌اند. در برش مورد مطالعه وجود کنگلومرا قاعده‌ای و لايه‌های تبخیری از جمله ژیپس نشان از وجود محیط ساحلی تا



شکل ۹. مدل محیط رسوبی پیشنهاد شده برای سازند قم در برش تلن‌کوه که یک رمپ کربناته است که در آن زیرمحیط لاغون و جزر و مدی از زیرمحیط دریایی باز توسط حاشیه پلاتفرمی جدا شده است (FWWB: سطح اساس آب در شرایط آرام، SWB: سطح اساس آب در شرایط توفانی).

Plate 1

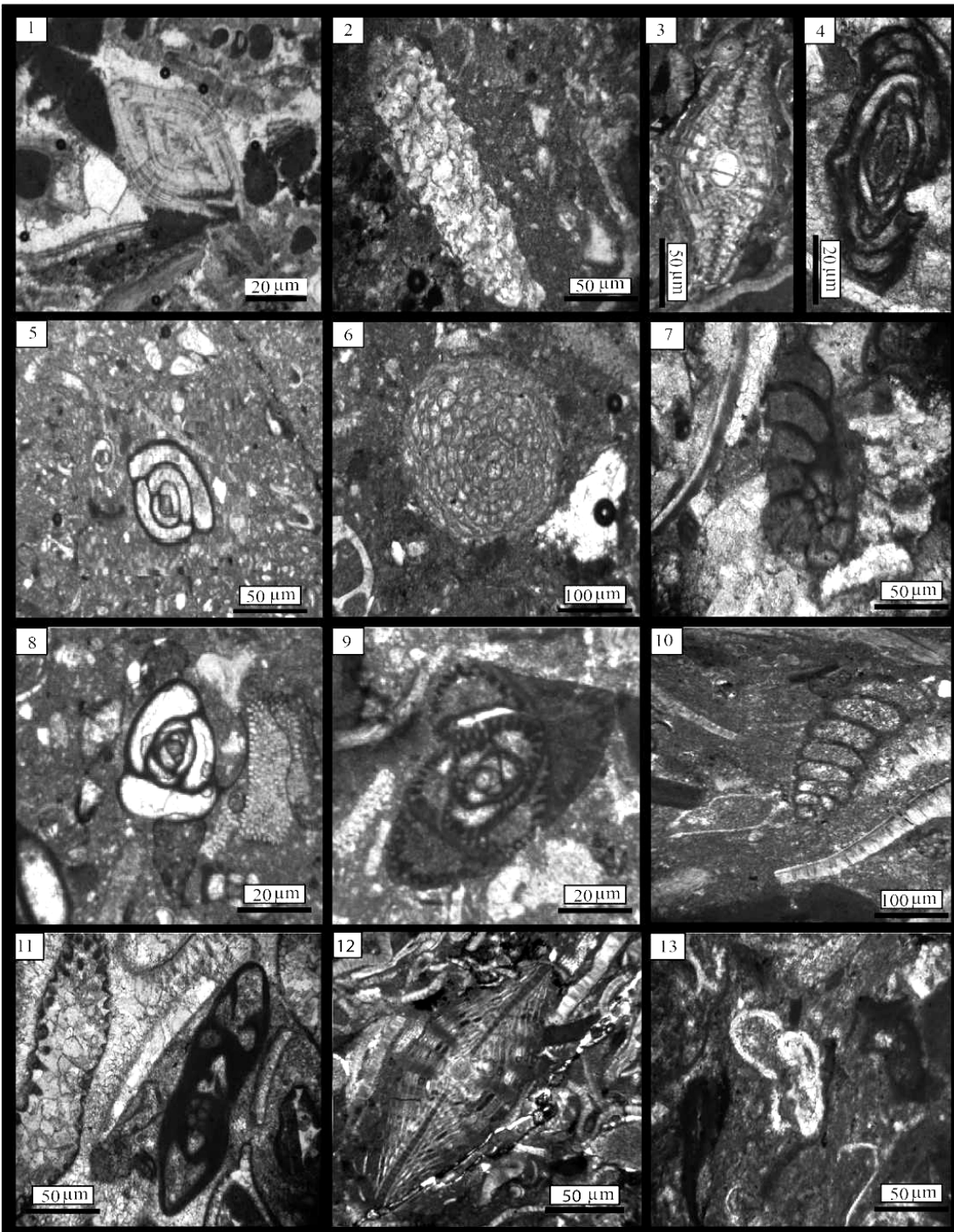


Plate 1: Fig.1. *Amphistegina* sp., Fig.2. *Miogypsina* sp., Fig.3. *Nephrolepidina tournoueri* Lemoine and Douville 1904, Fig.4. *Schlumbergerina* sp., Fig.5. *Pyrgo* sp., Fig.6. *Sphaerogypsina globulus* Galloway 1933, Fig.7. *Spirolina cylindracea* Lamarck 1804, Fig.8. *Triloculina trigonula* Lamarck 1804, Fig.9. *Astrotrillina howchini* Schlumberger 1893, Fig.10. *Bigenerina* sp., Fig.11. *Dendritina rangi* d' Orbigny 1904, Fig.12. *Lepidocyclina* sp., Fig.13. *Discorbis* sp.

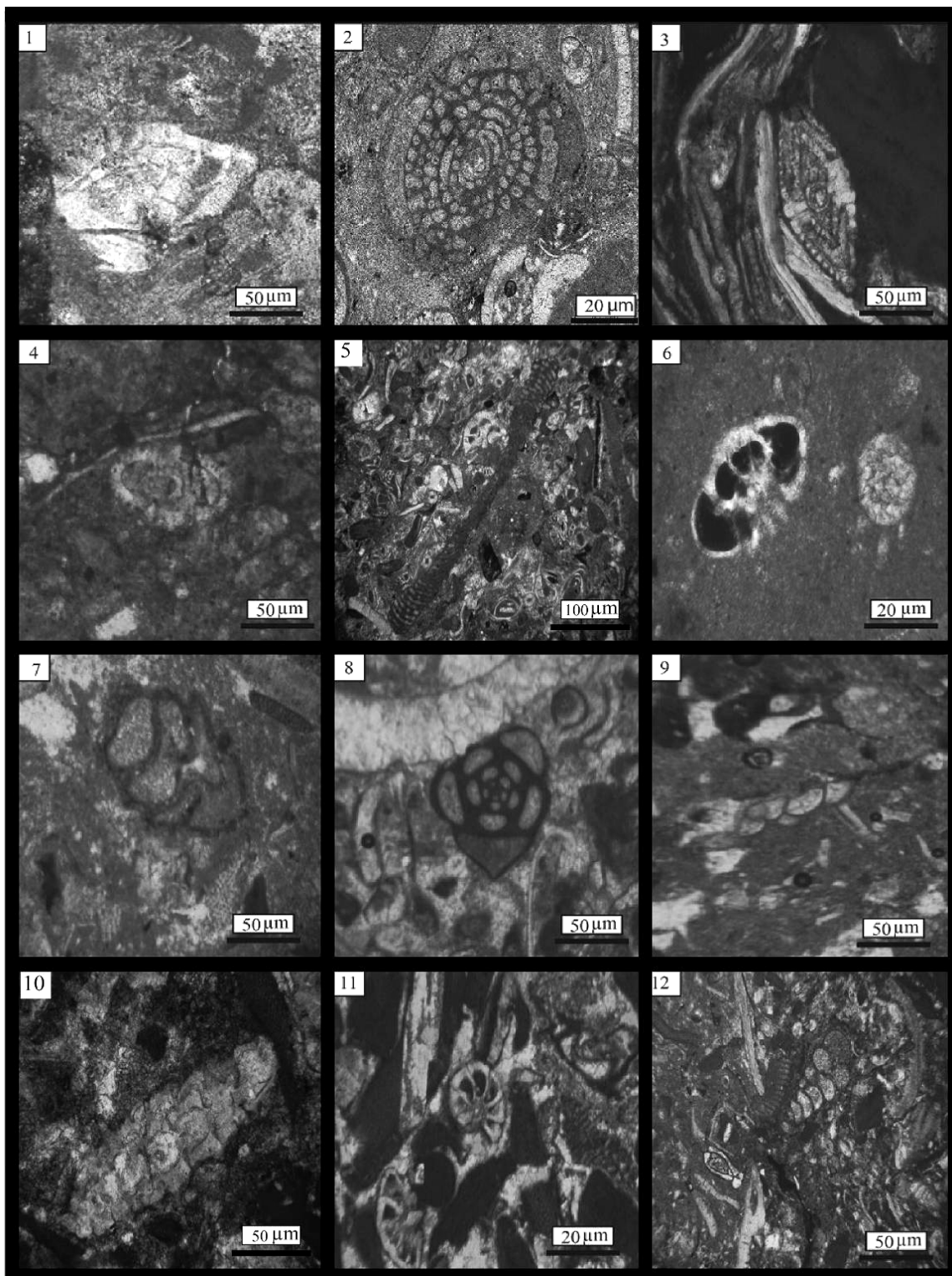


Plate 2: Fig.1. *Asterigerina rotula* Kaufmann 1867, Fig.2. *Borelis melo curdica* Reichel 1937, Fig.3. *Bozorgniella qumiensis* Rahaghi 1973, Fig.4. *Elphidium* sp.14 Thomas 1949, Fig.5. *Archaias* cf. *kirkukensis* Henson 1950, Fig.6. *Ammonia beccarii* Linne 1758, Fig.7. *Valvulina* sp., Fig.8. *Quinqueloculina* sp., Fig.9. *Planorbulina* sp., Fig.10. *Miogypsinoides* sp., Fig.11. *Rotalia viennotti* Greig 1935, Fig.12. *Textularia* sp.

- مرکزی، مجله رخساره‌های رسوبی، شماره ۳، صفحات ۴۰-۳۱.
- [۶] ترک‌زاده‌ماهانی، ا.، خسروی، ز (۱۳۹۱) چینه‌نگاری زیستی و بوم‌شناسی دیرینه نهشته‌های میوسن پیشین در برش جفریز (جنوب‌غرب کرمان) براساس روزن‌داران کفسزی، مجله رخساره‌های رسوبی، شماره ۵، صفحات ۱۹۵-۱۸۵.
- [۷] دانشیان، ج، آفتابی، ا (۱۳۸۸) بیواستراتیگرافی فرامینیفرهای سازند قم براساس بافت‌های جدید در برش طاقدیس نواب در جنوب‌شرق کاشان، مجله علوم، شماره ۳۵، صفحات ۱۳۷-۱۵۴.
- [۸] دانشیان، ج، پورصالحی، ف (۱۳۸۳) زیست‌چینه‌شناسی نهشته‌های سازند قم در شمال‌باخته افتر، شمال‌باخته سمنان، مجموعه مقالات هشتمین همایش انجمن زمین‌شناسی ایران، دانشگاه شاهروд.
- [۹] دانشیان، ج، چگینی، ع (۱۳۸۵) زیست‌چینه‌شناسی نهشته‌های سازند قم در شمال خاور و جنوب خاور سمنان، فصلنامه علوم زمین، شماره ۶۲، صفحات ۷۹-۷۲.
- [۱۰] دانشیان، ج، شهرابی، م، اخلاقی، م (۱۳۸۹) زیست‌چینه‌نگاری و محیط دیرینه نهشته‌های سازند قم در شمال خاور ماهنشان، فصلنامه علوم زمین، شماره ۷۶، صفحات ۵۰-۴۵.
- [۱۱] رحیم‌زاده، ف (۱۳۷۳) زمین‌شناسی ایران-الیگومن، میوسن و پلیوسن، سازمان زمین‌شناسی و اکتشافات معدنی ایران، ۳۱۱ صفحه.
- [۱۲] صفری، ا، عامری، ح، وزیری، م.ر، محمدی، ا (۱۳۹۲) ریزرخساره‌ها و محیط رسوبی سازند قم در ناحیه ورکان (جنوب‌غربی کاشان)، حوضه پیش‌کمان سندج-سیرجان، مجله دیرینه‌شناسی، شماره ۲، صفحات ۱۸۷-۲۰۴.
- [۱۳] صیرفیان، ع، ترابی، ح، شجاعی، م (۱۳۸۵) میکروفاسیس و محیط رسوبی سازند قم در منطقه نظرن (کوه چرخه)، مجله پژوهشی علوم پایه، شماره ۲۳، صفحات ۱۳۵-۱۴۸.
- [۱۴] کاروان، م، محبوبی، ا، وزیری‌مقدم، ح، موسوی‌حرمی، ر (۱۳۹۳) رخساره‌های رسوبی و چینه‌نگاری سکانسی نهشته‌های سازند قم در شمال خاوری دلیجان- شمال- باختری ایران مرکزی، فصلنامه علوم زمین، شماره ۹۴، صفحات ۲۴۸-۲۳۷.
- [۱۵] محمدی، ا، وزیری، م.ر، داستانپور، م (۱۳۹۳) بررسی ریزرخساره‌ها و بازسازی محیط رسوبی سازند قم در ناحیه سیرجان، جنوب‌غرب کرمان، مجله پژوهش‌های

نتیجه‌گیری

- ۱- سازند قم در برش تلن کوه با ۶۰۵ متر ضخامت در ۵۰ کیلومتری جنوب‌باختری سمنان واقع شده است و از شش واحد سنگی شکل گرفته است که از نظر لیتو‌لوژی به طور عمده شامل سنگ‌آهک، تناب و سنگ‌آهک و مارن، مارن، سنگ‌آهک مارنی و ژیپس است.
- ۲- مرز زیرین سازند قم در این برش با سازند قرمز زیرین به صورت ناپیوستگی فرسایشی و مرز بالایی آن احتمالاً به دلیل فرسایش یا گسل خودگی نامشخص است.
- ۳- در سازند قم در برش تلن کوه ۳۴ جنس و ۱۸ گونه از روزن‌داران کفسزی شناسایی گردید. براساس نحوه گسترش و پراکندگی آن‌ها سه بیوزون تجمعی با سن شاتین؟-بوردیگالین تعیین گردید.
- ۴- بر پایه بازدیدهای میدانی و مطالعات آزمایشگاهی یک لیتوفارسیس کنگلومرایی، یک رخساره تبخیری و ۱۰ ریزرخساره متعلق به ۵ دسته محیطی فراکشنی، پهنه کشندی، لاغون، سد ماسه‌ای بایوکلستی و دریای باز کم عمق شناسایی گردید.
- ۵- با توجه به مطالعات محیط رسوبی صورت گرفته و نبود ریف سدی بزرگ بین لاغون و دریای باز، فقدان ساختارهای لغزشی و ریزشی و تغییرات تدریجی رخساره‌ها، سازند قم در برش مورد مطالعه در یک رمپ کربناته هموکلینال نهشته شده است.

منابع

- [۱] آقانباتی، س.ع (۱۳۸۵) زمین‌شناسی ایران، سازمان زمین‌شناسی و اکتشافات معدنی کشور، ۵۸۶ ص.
- [۲] انجمشعاع، ع، امیرشاه‌کرمی، م (۱۳۹۲) چینه‌نگاری زیستی و محیط رسوبی دیرین نهشته‌های الیگومن پسین در برش تنبو (جنوب‌غرب کرمان، ایران مرکزی)، مجله رخساره‌های رسوبی، شماره ۶، صفحات ۱۴۹-۱۳۰.
- [۳] ایانلو، ط (۱۳۹۲) چینه‌نگاری زیستی و چینه‌نگاری سکانسی سازند قم در برش علاء (جنوب‌شرق سمنان)، دانشگاه دامغان، پایان‌نامه کارشناسی ارشد، ۸۶ صفحه.
- [۴] بختیاری، س (۱۳۸۴) اطلس راههای ایران با مقیاس ۱:۱۰۰۰۰۰۰، موسسه جغرافیایی و کارتوگرافی گیتا شناسی، ۲۸۸ صفحه.
- [۵] بهفویزی، ا، صفری، ا، وزیری مقدم، ح (۱۳۸۹) زیست چینه‌نگاری سازند قم در ناحیه چنار (شمال‌غرب کاشان) براساس روزن‌داران و تطبیق آن با برخی از نقاط ایران

- [28] Cahuzac, B., Poignant, A (1997) An attempt of biozonation of the European basin, by means of larger neritic foraminifera: Bulletin Societe Géologique, France, 168: 155-169.
- [29] Daneshian, J., Ramezanidana, L (2007) Early Miocene benthic foraminifera and biostratigraphy of the Qom Formation, Dehnamak, Central Iran, journal of Asian Earth Science, 29: 844-858.
- [30] Dunham, R.J (1962) Classification of carbonate rocks according to their depositional texture, American Association of Petroleum Geologists, 1: 108-121.
- [31] Flügel, E (2010) Microfacies of Carbonate Rocks, Analysis Interpretation and Application, Springer-Verlag, Berlin, Heidelberg, 976 p.
- [32] Geel, T (2000) Recognition of stratigraphic sequences in carbonate platform and slope deposits: empirical models based on microfacies analysis of Paleogene deposits in southeastern Spain, Palaeogeography, Palaeoclimatology, Palaeoecology, 155: 211-238.
- [33] Halfar, J., Mutti, M (2005) Global Dominance of corallin red-algal facies: A response to Miocene oceanographic events, Geology, 33: 481-484.
- [34] Harzhauser, M., Piller, W.E (2007) Benchmark data of a changing sea and events in the Central Paratethys during the Miocene, Palaeogeography, Palaeoclimatology, Palaeoecology, 253: 8-31.
- [35] Hottinger, L (1983) Processes determining the distribution of larger foraminifera in space and time, Utrecht Micropaleont. Bull., 30: 239-253.
- [36] Laursen, G.V., Monibi, S., Allan, T.L., Pickard, N.A., Hosseiney, H., Vincent, B., Hamon, Y., Buchem, F.S.P., Mollemi, A., Druillón, G (2009) The Asmari Formation revisited: Change Stratigraphic allocation and new biozonation, First international petroleum conference and exhibition, Shiraz, Iran, 1-5.
- [37] MaghfouriMoghaddam, I., Borji, s., Amini, E., Azadbakht, s., Taherpour, M (2014) Microbiostratigraphy of the Qom Formation in Southwestern Tafresh, Central Iran, Iranian journal Earth Sciences, 6: 52-63.
- [38] Mohammadi, E., Safari, A., Vaziri-Moghaddam, H., Vaziri, M.R., Ghaedi, M (2011) Microfacies analysis and paleoenvironmental interpretation of the Qom Formation, South of the Kashan, Central Iran, Carbonate Evaporates, 26: 255-271.
- [39] Mohammadi, E., Ameri, H (2015) Biotic components and biostratigraphy of the Qom Formation in northern Abadeh, Sanandaj-Sirjan fore-arc basin, Iran (northeastern چینه‌نگاری و رسوب‌شناسی، شماره ۵۵، صفحات ۳۵-۵۴).
- [40] محمدیان اصفهانی، م، صفری، ا، وزیری‌مقدم، ح (۱۳۹۲) بررسی ریزرساره‌ها و محیط رسوبی سازند قم در ناحیه بیجگان (شمال شرق دلیجان)، مجله رساره‌های رسوبی، شماره ۶، صفحات ۷۶-۶۵.
- [41] نوری، ن (۱۳۷۶) بررسی میکروفاسیس و محیط رسوبی سازند قم در منطقه عبدالآباد سمنان و مقایسه آن با خارزن اردستان، دانشگاه تربیت معلم تهران، پایان‌نامه کارشناسی ارشد، ۸۷ صفحه.
- [42] وزیری، م.ر، حسنی، م.ج، حسینی‌پور، ف (۱۳۸۸) زیست‌چینه‌نگاری سازند قم در جنوب سیرجان، پراسان روزن‌داران کفزی، مجله رساره‌های رسوبی، شماره ۲، صفحات ۱۵۳-۱۶۲.
- [43] Adams, T.D., Bourgeois, F (1967) Asmari biostratigraphy: Geological and Exploration Division, Iranian Oil Operating Companies, Report No. 1074, Unpublished.
- [44] Adams, T.D. (1969) The Asmari Formation of Lurestan and Khuzestan Provinces. Iranian Oil Operating Companies, Report No. 1151, Unpublished.
- [45] Amirshahkarami, M., Karavan, M (2015) Microfacies models and sequence stratigraphic architecture of the Oligocene-Miocene Qom Formation, south of Qom City, Iran, Geoscience Frontiers, 6: 593-604.
- [46] Amirshahkarami, M., Vaziri-Moghaddam, H., Taheri, A (2007a), Paleoenvironmental model and sequence stratigraphy of the Asmari Formation in southwest Iran, Historical Biology, 19 (2): 173-183.
- [47] Amirshahkarami, M., Vaziri-Moghaddam, H., Taheri, A (2007b), Sedimentary facies and sequence stratigraphy of the Asmari Formation at the Chaman-Bolbol, Zagros basin, Iran, Journal of Earth Science, 29: 947-959.
- [48] Behforouzi, A., Safari, A (2011) Biostratigraphy and paleoecology of the Qom Formation in Chenar area (northwestern Kashan), Iran, Revista Mexicana de Ciencias Geologicas, 28: 555-565.
- [49] Berning, B., Reuter, M., Piller, W.E., Harzhauser, M., Kroh, A (2009) Larger foraminifera as a substratum for encrusting bryozoans (Late Oligocene, Tethyan Seaway, Iran), Facies, 55: 227- 241.
- [50] Brandano, M., Corda, L (2002) Nutrients, sea level and tectonics: constraints for the facies architecture of a Miocene carbonate ramp in central Italy, Terra Nova, 14: 257-262.
- [51] Burchette, T.P., Wright, V.P (1992) Carbonate ramp depositional systems, Sedimentary Geology 79: 3-57.

- Stratigraphic architecture and reservoir types of the Oligo-Miocene deposits in the Dezful Embayment (Asmari and Pabdeh Formation), SW Iran, Geological Society of London, special publication, 329: 219-263.
- [49] Vaziri-Moghaddam, H., Torabi, H (2004) Biofacies and sequence stratigraphy of the Oligocene succession, Central basin, Iran, Neues Jahrbuch für Geologie und Paläontologie, 6: 321-344.
- [50] Vaziri-Moghaddam, H., Kimiagari, M., & Taheri, A., 2006. Depositional environment and sequence stratigraphy of the Oligocene-Miocene Asmari Formation in SW Iran, Lali Area, Facies, 52: 41-51.
- [51] Vaziri-Moghaddam, H., Seyrafian, A., Taheri, A., Motiei, H (2010) Oligocene-Miocene ramp system (Asmari Formation) in the NW of the Zagros basin, Iran: microfacies, paleoenvironment and depositional sequence: Revista Mexicana de Ciencias Geologicas, 27: 56-71.
- [52] Wilson, J.L (1975) Carbonate Facies in Geological History, Springer, Berlin-Heidelberg, New York, 471 p.
- [53] Wynd, J (1965) Biofacies of the Iranian Oil Consortium Agreement Area, Iranian Oil Offshore Company, Report No. 1082, Unpublished.
- margin of the Tethyan Seaway, Arabian Journal of Geosciences, "in press".
- [40] Mohammadi, E., Hasanzade-Dastgerdi, M., Ghaedi, M., Dehghan, R., Safari, A., Vaziri-Moghaddam, H., Baizidi, C., Vaziri, M.R., Sfidari, M (2013) The Tethyan Seaway Iranian Plate Oligo-Miocene deposits (the Qom Formation): distribution of Rupelian (Early Oligocene) and evaporate deposits as evidences for timing and trending of opening and closure of the Tethyan Seaway, Carbonates Evaporites, 28: 321-345.
- [41] Mohammadi, E., Vaziri, M.R., Dastanpour, M (2015) Biostratigraphy of the Nummulitids and Lepidocyclinids bearing Qom Formation Based on larger benthic foraminifera (Sanandaj-Sirjan fore-arc basin and central Iran back-arc basin, Iran), Arabian Journal of Geosciences, 8: 403-423.
- [42] Pomar, L., Hallock, P (2008) Carbonate factories: A conundrum in sedimentary Geology, Earth-Science Reviewers, 87: 134-169.
- [43] Rahmani, A., Vaziri-Moghaddam, H., Taheri, A., Ghabeishavi, A (2009) A model for the Paleoenvironmental distribution of larger foraminifera of Oligocene-Miocene carbonate rocks at Khaviz Anticline, Zagros basin, SW Iran, Historical Biology, 21: 215-227.
- [44] Rasser, M.W., Nebelsick, J.H (2003) Provenance analysis of Oligocene autochthonous and allochthonous coralline algae: a quantitative approach towards reconstructing transported assemblages, Palaeogeography, Palaeoclimatology, Palaeoecology, 201: 89-111.
- [45] Reuter, M., Pillar, W. E., Harzhauser, M., Mandic, O., Berning, B., Rogl, F., Kroh, A., Aubry, M. P., Wielandt, U., Hamedani, A (2009) The Oligo- Miocene Qom Formation (Iran): evidence for an early Burdigalian restriction of Tethyan Seaway and closer of its Iranian gateways, International Journal of Earth Sciences, 98: 627-650.
- [46] Romero, J., Caus, E., Rossel, J (2002) A Model for the Palaeoenvironmental distribution of larger foraminifera based on Late Middle Eocene deposits on the margin of the south Pyrenean Basin (SE Spain): Palaeogeography, Palaeoclimatology, Palaeoecology, 179(1): 43-56.
- [47] [47] Schuster, F., Wielandt, I (1999) Oligocene and Early Miocene coral faunas from Iran: palaeoecology and paleobiogeography, International Journal of Earth Sciences, 88: 571-581.
- [48] Van Buchem, F.S.P., Allan, T.L., Laursen, G.V., Lotfpor, M., Moallemi, A., Monibi, S., Motiei, H., Pichard, N.A.H., Tahmasbi, A.R., Vedrenne, V., Vincent, B (2010) Regional